



Semnan University



Research Article

Numerical and Analytical Modeling of Large Deflection with Local Indentation of Sandwich Beam Under Quasi-Static Transverse Loading

Mohammad Solooki ^{a,*}

^a Department of Mechanical Engineering, Bu Ali Sina University, Hammedan, Iran

PAPER INFO

Paper history:

Received: 2024-01-30

Revised: 2024-05-14

Accepted: 2024-05-18

Keywords:

Sandwich structures;
Plastic deformation;
Analytical modeling;
Numerical analysis;
Local indentation.

ABSTRACT

By taking local indentation effect and foam core strength into account in the overall deflection process, a novel theoretical model is investigated to predict the large deflection with local indentation of sandwich beam under quasi-static lateral loading. The theoretical and numerical models of lateral crushing force and total plastic energy are proposed and the theoretical results agree well with numerical and experimental results of previous researches. The results conclude that local indentation phase plays an important role in initial collapse deflection of sandwich beam when maximum deflection is greater than face sheets thickness. In addition, the theoretical results with and without local indentation phase of total plastic energy are compared and it shows that total plastic energy of sandwich beam will be overestimated if local indentation phase is neglected. The present analytical model can predict the large deflection behavior with local indentation of sandwich beam reasonably.

DOI: <https://doi.org/10.22075/jme.2024.33135.2613>

© 2024 Published by Semnan University Press.

This is an open access article under the CC-BY 4.0 license. (<https://creativecommons.org/licenses/by/4.0/>)

* Corresponding author.

E-mail address: mohammadsolooki459@gmail.com

How to cite this article:

Solooki, M. (2024). Numerical and Analytical Modeling of Large Deflection with Local Indentation of Sandwich Beam under Quasi-Static Transverse Loadin. Journal of Modeling in Engineering, 22(79), 223-242. doi: 10.22075/jme.2024.33135.2613

مدل سازی عددی و تحلیلی انحراف بزرگ همراه با فرورفتگی موضعی تیر ساندویچی تحت بارگذاری عرضی شبه استاتیکی

محمد سلوکی^{۱*}

اطلاعات مقاله	چکیده
دریافت مقاله: ۱۴۰۲/۱۱/۱۰	با در نظر گرفتن اثر فرورفتگی موضعی (محلی) و هم‌چنین مقاومت هسته فوم روی روند کلی انحراف تیر ساندویچی، یک مدل تحلیلی و عددی جدید برای اندازه‌گیری تغییر شکل‌های بزرگ همراه با فرورفتگی موضعی یک تیر ساندویچی تحت بارگذاری عرضی شبه استاتیکی بررسی شده است. مدل‌های تحلیلی و عددی برای بررسی نیروی فشاری عرضی و انرژی پلاستیک کل ارائه شده است و نتایج تحلیلی با نتایج عددی مطابقت دارد. با بررسی و مقایسه نتایج مدل تحلیلی و عددی می‌توان نتیجه گرفت هنگامی که بیش‌ترین انحراف ساندویچ تیر از ضخامت لایه‌ها بیش‌تر باشد، فاز (مرحله) فرورفتگی موضعی نقش مهمی در انحراف فروپاشی اولیه ساندویچ تیر دارد. هم‌چنین با بررسی نتایج مدل تحلیلی انرژی پلاستیک کل با و بدون در نظر گرفتن فاز فرورفتگی موضعی مقایسه شده است و نشان می‌دهد که اگر فاز فرورفتگی موضعی در نظر گرفته نشود، کل انرژی پلاستیک ساندویچ تیر بیش از حد مجاز خواهد شد. در مدل تحلیلی ارائه شده در این مقاله، رفتار انحراف با فرورفتگی موضعی تیر ساندویچی بررسی شده است.
بازنگری مقاله: ۱۴۰۳/۰۲/۲۵	
پذیرش مقاله: ۱۴۰۳/۰۲/۲۹	
واژگان کلیدی:	
سازه‌های ساندویچی، تغییر شکل پلاستیک، مدل سازی تحلیلی، تحلیل عددی، فرورفتگی موضعی.	

DOI: <https://doi.org/10.22075/jme.2024.33135.2613>

© 2024 Published by Semnan University Press.

This is an open access article under the CC-BY 4.0 license. (<https://creativecommons.org/licenses/by/4.0/>)

۱- مقدمه

بسیاری از سازه‌های ساندویچی با هسته‌های مختلفی مورد بررسی قرار گرفته‌اند، مانند هسته فومی [۱-۲]، لانه-زنبوری [۳-۵]، مواد شبکه‌بندی [۶-۷]، ساختارهای موجدار [۸-۹]، ساختارهای پوسته‌ای [۱۰-۱۲]، مواد تابعی طبقه‌بندی^۲ [۱۳، ۱۴]، و غیره. هسته‌های فومی دارای خواصی مانند وزن سبک، جذب انرژی بالا و ظرفیت ضد ضربه خوب می‌باشد. بنابراین، بررسی نیروی فشاری عرضی و ظرفیت جذب انرژی سازه‌های ساندویچی با هسته فوم که سبب ایجاد انحراف‌های بزرگ می‌شود، می‌تواند قابل توجه باشد. در سال‌های گذشته به صورت مدل‌های تحلیلی، عددی و تجربی، مدهای شکست و رفتار انحراف‌های بزرگ سازه‌های ساندویچی تحت بارگذاری‌های مختلف مورد

در دهه‌های اخیر، سازه‌های ساندویچی به دلیل وزن پایین، استحکام و سفتی بالا، به‌طور گسترده به‌عنوان جاذب‌های انرژی در سازه‌های هوافضا، صنایع خودروپی و ... استفاده شده است [۱]. ساندویچ تیرها از یک هسته فومی ضخیم و دو رویه نازک که به دو طرف هسته فوم چسبیده‌اند، تشکیل شده است. تغییر شکل و رفتار مکانیکی ساختاری سازه‌های ساندویچی به هندسه و خواص مکانیکی هسته فوم و رویه‌ها بستگی دارد. در بارگذاری عرضی تیرهای ساندویچی، رویه‌ها تحت نیروی فشاری عرضی و ممان خمشی و هسته فوم تحت نیروی برشی قرار دارد [۲]. با توجه به ایده‌های جدید در طراحی سازه ساندویچ تیرها،

* پست الکترونیک نویسنده مسئول: mohammadsolooki459@gmail.com

۱. گروه مهندسی مکانیک، دانشگاه بوعلی‌سینا، همدان، ایران

استناد به این مقاله:

² Functionally Graded Material

باستروم^{۱۵} [۳۱] یک مدل تیر بر روی پایه پلاستیک پیشنهاد داد. براساس این مدل، میلر^{۱۶} [۳۲] یک مدل شکست هنگامی که هسته فوم به صورت موضعی متلاشی و یک لولا پلاستیکی بر روی لایه بالا و لبه پانچ^{۱۷} تشکیل می‌شود، ارائه کرد. با این حال، مدل‌های تئوری فرورفتگی موضعی گذشته فقط براساس فرضیه انحراف‌های کوچک ارائه شده است، و این که انحراف پلاستیکی فقط با انحراف اولیه همراه با فرورفتگی موضعی ایجاد می‌شود. علاوه بر این در مدل‌های تحلیلی گذشته، انحراف تار خنثی که همیشه در روند کلی انحراف سازه‌های ساندویچی همراه است، نادیده گرفته شده است. هدف اصلی این پژوهش بررسی رفتار انحراف‌های بزرگ با فرورفتگی موضعی تیر ساندویچی کاملاً گیردار که تحت بارگذاری عرضی شبه استاتیکی است، می‌باشد. با در نظر گرفتن اثر فرورفتگی موضعی و هم‌چنین مقاومت هسته فوم روی روند کلی انحراف تیر ساندویچی، یک مدل تحلیلی و عددی جدید برای اندازه‌گیری تغییر شکل‌های بزرگ همراه با فرورفتگی موضعی ارائه می‌شود.

۲- مدل تحلیلی

در این مقاله یک مدل تئوری برای پیش‌بینی انحراف بزرگ همراه با فرورفتگی موضعی تیر ساندویچی ارائه شده است. شکل (۱) یک تیر ساندویچی کاملاً گیردار که شامل رویه بالا، هسته فوم و رویه پایین و تحت بارگذاری عرضی شبه استاتیکی است، را نشان می‌دهد. طول و پهنا تیر ساندویچی به ترتیب $2L$ و b می‌باشد. تیر ساندویچی به‌طور عرضی در وسط توسط نیروی P از طریق یک پانچ صاف به پهنا $2a$ بارگذاری شده است. ضخامت رویه‌ها و هسته فوم به ترتیب h_f و h_c می‌باشد. در مدل تحلیلی، رویه‌ها و هسته فوم به‌صورت ماده پلاستیک کاملاً صلب که از معیار تسلیم پیروی می‌کند، در نظر گرفته شده است. در مدل تحلیلی نیروی فشاری عرضی و ظرفیت جذب انرژی مورد بررسی قرار می‌گیرد. خواص مکانیکی σ_f ، τ_f ، ν_f و ρ_f ، σ_c ، τ_c ، ν_c و ρ_c ، استحکام تسلیم، تنش برشی، نسبت پواسون و چگالی به ترتیب برای رویه‌ها و هسته فوم است. چگالی

بررسی قرار گرفته است. مدهای شکست تیرهای ساندویچی عبارتند از: سطح تسلیم^۳، برش هسته^۴، سطح چروکیده شده^۵ و فرورفتگی^۶ [۱۸-۱۵]. ژو^۷ و همکاران [۱۹] یک مدل تئوری برای پیش‌بینی پاسخ‌های مکانیکی و انحراف مرکزی سازه‌های ساندویچی تحت بارگذاری ضربه‌ای بررسی کردند. انحراف و ظرفیت جذب انرژی سازه‌های ساندویچی به هندسه، نوع بارگذاری، چگالی نسبی هسته و استحکام سازه ساندویچی بستگی دارد [۲۲-۲۰]. هم‌چنین بسیاری از محققان نظریه‌های جدیدی مرتبط با انحراف سازه‌های ساندویچی ارائه داده‌اند. براساس معیار تسلیم [۲۳، ۲۴] یک مدل تحلیلی از تیر ساندویچی کاملاً گیردار با استفاده از روش عامل پوسته‌ای^۸ ارائه شد. هنگامی که انحراف ساندویچ تیر از ضخامت رویه‌ها بزرگ‌تر می‌شود، نیروی غشایی^۹ نقش مهمی در تیر ساندویچی ایفا می‌کند [۲۲، ۲۴]. کاستانی^{۱۰} و همکاران [۲۵] یک مدل تئوری هندسی غیرخطی برای یک سازه ساندویچی نامتقارن بررسی کردند و مدل تئوری با مدل‌های عددی مقایسه و به نتایج مطلوبی دست یافتند. هو^{۱۱} و همکاران [۲۶-۲۸] رفتار فرورفتگی و انحراف‌های بزرگ تیر ساندویچی سینماتیکی با هسته فوم نرم با در نظر گرفتن هندسه غیر خطی تیر ساندویچی بررسی کردند. مدل سینماتیکی ارائه شده یک مرجع برای پیش‌بینی رفتار فرورفتگی و انحراف‌های بزرگ تیر ساندویچی می‌باشد. فرورفتگی موضعی^{۱۲} (محلی) و استحکام هسته فوم دو عامل مهمی است که روی انحراف کلی تیر ساندویچی اثر دارد. محققان رفتار فرورفتگی به‌صورت تجربی [۱۵، ۱۸] و به صورت مدل‌های تحلیلی [۱۷، ۲۹] در گذشته بررسی کرده‌اند. تاگاریلی و فلک^{۱۳} [۱۷، ۱۸-۲۴] یک مدل فرورفتگی موضعی با رویه‌های الاستیک و هسته فوم پلاستیک - کاملاً الاستیک برای تیر ساندویچی بررسی کردند. سون^{۱۴} [۳۰] رفتار فرورفتگی موضعی برای تیرهای ساندویچی به‌صورت تجربی بررسی کرد. سون در مدل تحلیلی خود تیر ساندویچی به‌صورت الاستیک که بر روی یک پایه پلاستیک کاملاً صلب قرار دارد، در نظر گرفت.

¹¹ Hu

¹² Local indentation

¹³ Tagarielli & Fleck

¹⁴ Soden

¹⁵ Bostrom

¹⁶ Miller

¹⁷ Punch

³ Face yielding

⁴ Core shearing

⁵ Face wrinkling

⁶ Indentation

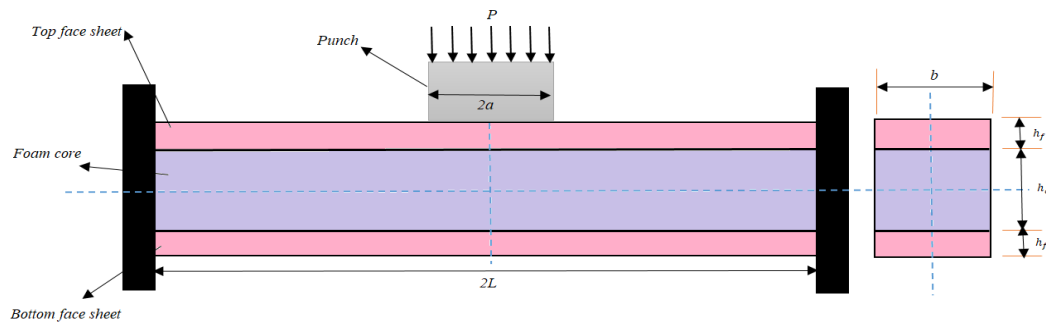
⁷ Zho

⁸ Membrane

⁹ Membrane force

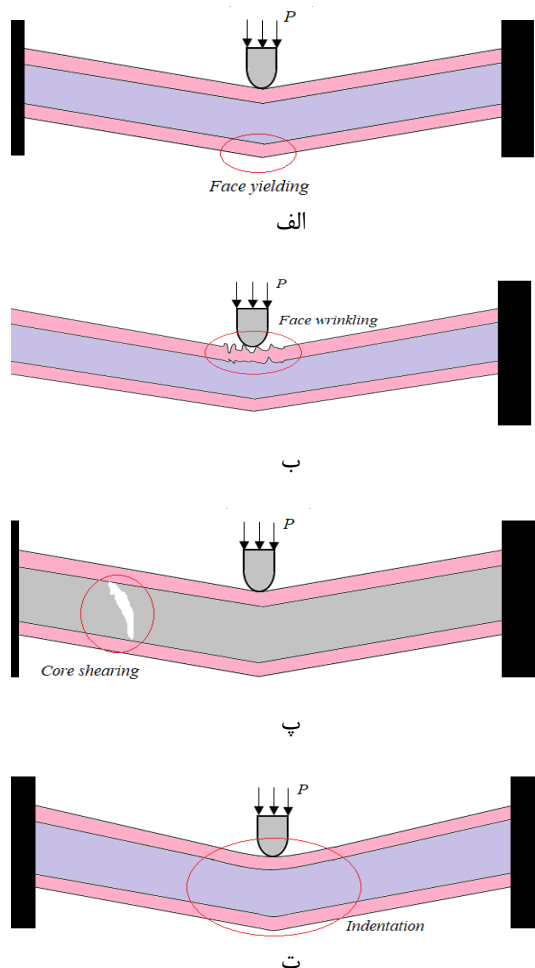
¹⁰ Castanie

متراکم بحرانی برای هسته فوم ϵ_D است.



شکل ۱- تیر ساندویچی کاملاً گیردار شامل رویه بالایی، هسته فوم و رویه پایینی تحت بارگذاری عرضی شبه استاتیکی توسط یک پانچ تخت.

ساندویچی با افزایش انحراف فرورفتگی مشخص شده است.



شکل ۲- رفتار فروپاشی انحراف بزرگ تیر ساندویچی کاملاً گیردار تحت بارگذاری عرضی شبه استاتیکی (الف) سطح تسلیم (ب) سطح چروکیده شده (ج) برش هسته (د) ترکیب خمش کلی و فرورفتگی موضعی.

۱-۲- مکانیزم فروپاشی پلاستیکی

مدهای متلاشی شدن اولیه تیر ساندویچی توسط تاگاریلی و فلک [۱۷،۱۸] بررسی شد. چهار مکانیزم اصلی فروپاشی پلاستیکی از جمله سطح تسلیم، سطح چروکیده شده، برش هسته و ترکیب خمش کلی و فرورفتگی موضعی در شکل (۲) نشان داده شده است. باید به این نکته توجه کرد که ضخامت هسته فوم تأثیر مستقیمی بر روی پاسخ انحراف مدهای تیر ساندویچی کاملاً گیردار دارد. برای هسته فوم نازک، سطح تسلیم و سطح چروکیده شده از تیر ساندویچی به وجود می‌آید شکل (۲-الف) و (۲-ب)، در حالی که برای هسته فوم ضخیم، برش هسته و ترکیب خمش کلی و فرورفتگی موضعی شکل (۲-پ) و (۲-ت) به دست می‌آید. مدهای مختلف انحراف تیر ساندویچی توسط شرایط مرزی و مواد رویه‌ها و هسته فوم تعیین می‌شود. برای یک هسته ضخیم، با افزایش انحراف عرضی، نیروی غشایی (پوسته‌ای) نقش مهمی در انحراف تیر ساندویچی ایفا می‌کند، اما اثر نیروی برشی عرضی روی لایه‌ها کاهش می‌یابد [۲۰،۲۱،۳۳]. فرض بر این است که فروپاشی پلاستیکی تیر ساندویچی کاملاً گیردار در فاز انحراف بزرگ، توسط نیروی غشایی و ممان خمشی اندازه گرفته می‌شود.

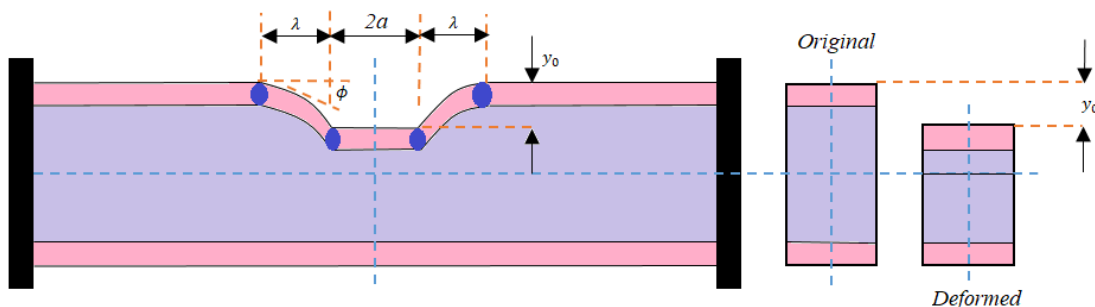
۲-۲- انحراف فرو رفتگی موضعی

مدل تحلیلی فرورفتگی موضعی تیر ساندویچی تحت بارگذاری عرضی شبه استاتیکی توسط یک پانچ مسطح در شکل (۳) نشان داده شده است. مدل تحلیلی فرورفتگی موضعی در این مقاله براساس تئوری تیر بر روی پایه پلاستیکی^{۱۸} است [۳۱،۳۴]. انحراف فرورفتگی موضعی تیر

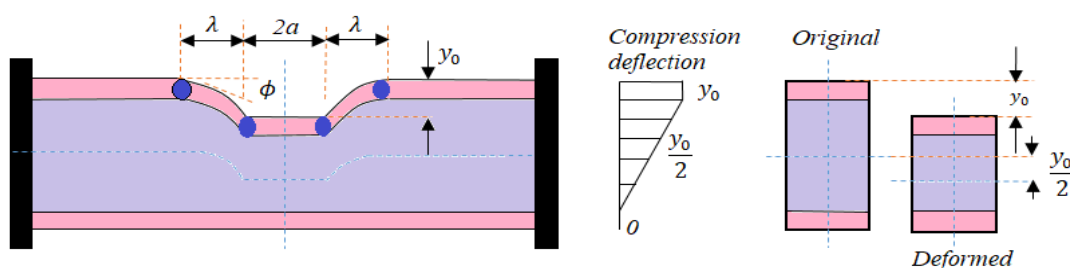
¹⁸ Beam on Foundation Plastic Model

تحلیلی در این مقاله که انحراف سطح خنثی را در روند کلی انحراف تیر ساندویچی قرار گرفته است، مقایسه شده است.

در شکل های (۳-الف) و (۳-ب)، مدل های تحلیلی گذشته که از انحراف سطح یا تار خنثی صرف نظر شده با مدل



الف



ب

شکل ۳- مدل تحلیلی فرورفتگی موضعی تیر ساندویچی (الف) انحراف سطح خنثی نادیده گرفته شده (ب) انحراف سطح خنثی در نظر گرفته شده.

$$\dot{y}(x, y) = \begin{cases} \dot{y}_0 \left(1 + \frac{a - \lambda}{\lambda} \frac{y}{h_c}\right), & a \leq x_1 \leq a + \lambda \\ \frac{\dot{y}_0}{h_c} y, & -a \leq x_1 \leq a \\ \dot{y}_0 \left(1 + \frac{a + \lambda}{\lambda} \frac{y}{h_c}\right), & -a - \lambda \leq x_1 \leq -a \end{cases} \quad (2)$$

که در معادله های (۱) و (۲)، $\dot{x}(x, y)$ و $\dot{y}(x, y)$ به ترتیب سرعت های محوری و عرضی، h_c ضخامت هسته فوم، λ نصف طول قسمت تغییر شکل یافته رویه بالایی که به اندازه ϕ چرخش داشته است. عبارت های $y_0 = \lambda \phi$ و $\dot{y}_0 = \lambda \dot{\phi}$ به ترتیب انحراف فشاری (فشرده گی عرضی) و سرعت بارگذاری پانچ در نقطه بارگذاری می باشد. در این مدل تحلیلی، جابجایی لولاهای پلاستیکی تیر ساندویچی تغییر شکل یافته، در نقاط مشخص شده شکل (۳-ب) نشان

فرضیات معادلات حاکم بر مدل تحلیلی به صورت زیر می باشد:

۱. انحراف فشرده گی (فشاری) هسته فوم به طور خطی در جهت ضخامت تغییر می کند (شکل (۳-ب)). انحراف فشرده گی بر روی لایه بالا y_0 است، بنابراین انحراف فشاری

سطح خنثی برابر $\frac{y_0}{2}$ می باشد.

۲. تیر ساندویچی در جهت y فشرده می شود و در جهت x بدون کشش می باشد. همچنین استحکام های برشی و فشاری هسته فوم مجزا از هم می باشد.

۳. جابجایی یا تغییر مکان بین سطح تماس رویه ها و هسته فوم پیوسته می باشد.

۴. تنش برشی بر روی لایه های بالا و پایین وجود ندارد.

۵. هندسه پانچ در مدل تحلیلی در نظر گرفته شده است.

$$\dot{x}(x, y) = 0 \quad (1)$$

(۵)

\dot{e} نرخ کشش قسمت تغییر شکل یافته رویه بالایی از معادله (۶) به دست می آید.

$$\dot{e} \cong \frac{y_0 \dot{y}_0}{\lambda} \quad (۶)$$

در فرآیند فرورفتگی موضعی، تغییر شکل پلاستیکی رویه بالایی بر اثر گشتاور خمشی نیروی غشایی ایجاد می شود. دو روش برای رابطه مقداری بین ممان خمشی و نیروی غشایی وجود دارد:

۱. در روش اول فرض بر این است که ممان خمشی و نیروی غشایی مستقل از هم دیگر هستند و کل انرژی پلاستیک از جمع خطی این دو عبارت به دست می آید [۳۷، ۳۸].

۲. در روش دوم یک رابطه به نام معیار تسلیم ترکیب شده خمشی و غشایی بین ممان خمشی و نیروی غشایی وجود دارد [۲۱، ۲۴، ۳۹-۴۱]. کیو^{۱۹} و همکاران [۳۹] یک معیار تسلیم از سازه های ساندویچی با دو رویه نازک و محکم ولی هسته فوم ضخیم و ضعیف توسط تابع $|m| + |n| = 1$ که $m = M/M_p$ و $n = N/N_p$ است، ارائه کردند. جونز^{۳۳} یک معیار تسلیم ترکیب شده خمشی و غشایی دقیق در فضای (M, N) از رویه ها ارائه کرد، که می توان نوشت:

$$|m| + n^2 = 1 \quad (۷)$$

سطوح تسلیم پیوسته و ترکیبی ممان خمشی و نیروی غشایی در شکل (۴) نشان داده شده است. برای رویه ها از معیار تسلیم جونز در مدل تحلیلی استفاده شده است. با استفاده از اصل جریان پلاستیسیته شدن خواهیم داشت:

$$\frac{N_p \dot{e}}{M_p \cdot 2\dot{\phi}} = \frac{\frac{\partial \Pi(N/N_p, M/M_p)}{\partial(N/N_p)}}{\frac{\partial \Pi(N/N_p, M/M_p)}{\partial(M/M_p)}} = -\frac{dm}{dn} \quad (۸)$$

که در معادله (۸)، $\partial \Pi(N/N_p, M/M_p)$ تابع تسلیم می باشد. با جایگذاری $\dot{y}_0 = \lambda \dot{\phi}$ و معادله (۶) داخل معادله های (۷) و (۸) از نیروی غشایی و ممان خمشی داریم:

$$\begin{cases} n = \frac{y_0}{h_f}; m = \pm \left[1 - \left(\frac{y_0}{h_f} \right)^2 \right], & 0 \leq y_0 \leq h_f \\ n = 1; m = 0, & y_0 \geq h_f \end{cases} \quad (۹)$$

داده شده است. این مد شامل لهیدگی هسته فوم در محدوده طولی $[-\lambda - a, \lambda + a]$ و تشکل چهار لولای پلاستیکی بر روی لایه بالایی می باشد. مقدار λ با مینیمم سازی نیروی فروپاشی تحت شرایط ثابت به دست می آید [۲۰، ۲۱، ۲۴، ۳۲]. طبق اصل کار مجازی، میزان نرخ کار خارجی برابر است با مجموع میزان اتلاف انرژی داخلی رویه بالا و هسته فوم. با استفاده از اصل کار مجازی خواهیم داشت:

$$P\lambda\dot{\phi} = 4M_p\dot{\phi} + 2N_p\dot{e} + \int_{\Omega} \sigma_c \dot{\epsilon}_y dx + \int_{\Omega} \tau_c \dot{\gamma}_{xy} dx \quad (۳)$$

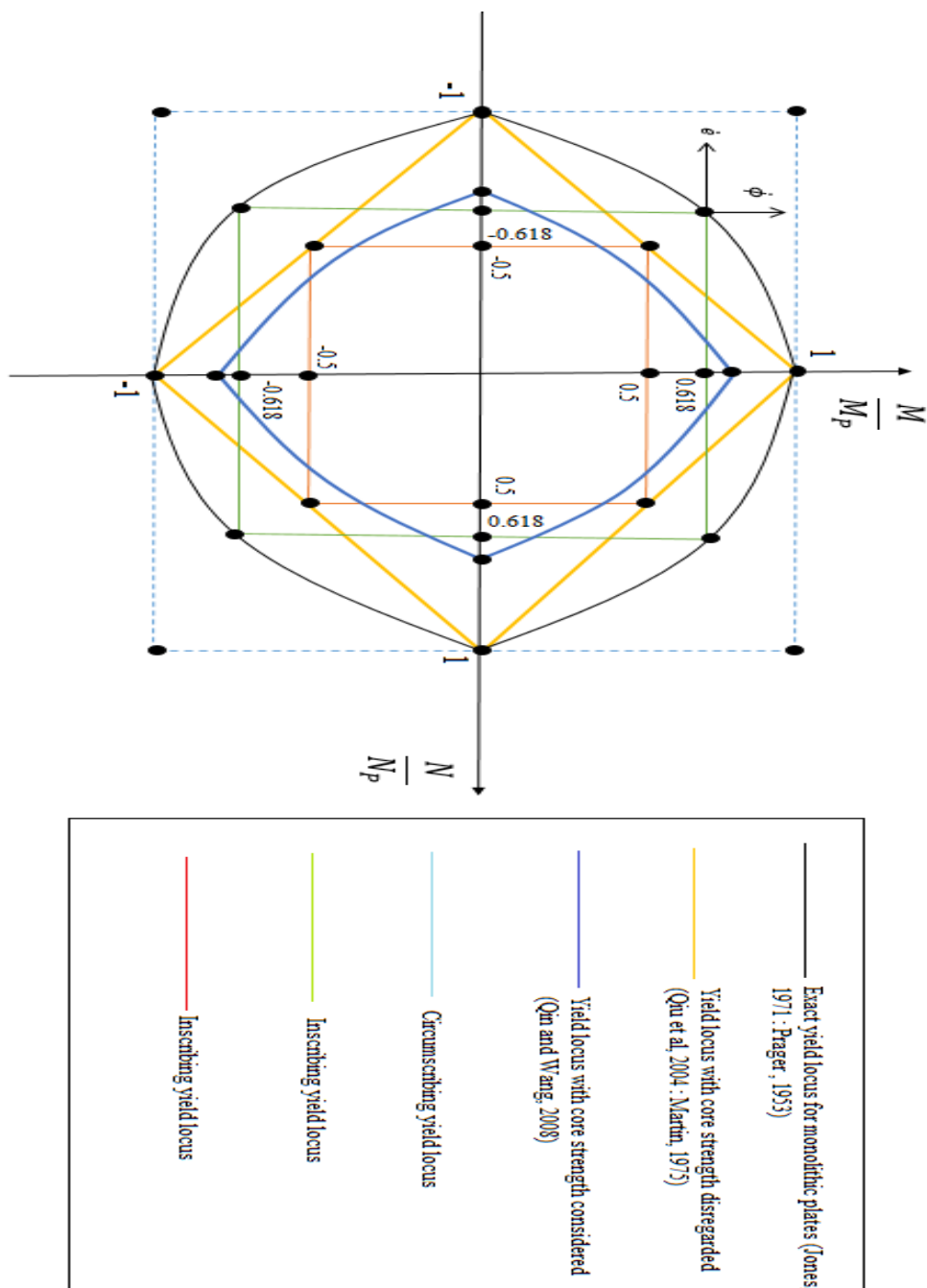
که در معادله (۳)، $N_p = \sigma_f h_f^2$ و $M_p = \sigma_f h_f^2 / 4$. به ترتیب ممان خمشی کاملاً پلاستیک و نیروی غشایی کاملاً پلاستیک بر واحد پهنا رویه بالایی می باشد. \dot{e} نرخ کشش قسمت تغییر شکل یافته رویه بالایی است. نمادهای $\dot{\gamma}_{xy}$ و $\dot{\epsilon}_y$ به ترتیب نرخ کرنش عرضی و نرخ کرنش برشی هسته فوم می باشد. ناحیه $\Omega = \Omega_1 \cup \Omega_2 \cup \Omega_3$ ناحیه انتگرال گیری هسته فوم است که $\Omega_1 = [-a - \lambda, -a] \times [0, h_c]$ ، $\Omega_2 = [-a, -a] \times [0, h_c]$ و $\Omega_3 = [a, a + \lambda] \times [0, h_c]$ می باشد. طبق معادلات (۱) و (۲) نرخ کرنش $\dot{\epsilon}_y$ هسته فوم در جهت y برابر است با:

$$\dot{\epsilon}_y = \frac{\partial y(x, y)}{\partial y} = \begin{cases} \frac{\dot{y}_0}{h_c} \left(1 + \frac{a - \lambda}{\lambda} \right), & a \leq x_1 \leq a + \lambda; 0 \leq y \leq h_c \\ \frac{\dot{y}_0}{h_c}, & -a \leq x_1 \leq a; 0 \leq y \leq h_c \\ \frac{\dot{y}_0}{h_c} \left(1 + \frac{a + \lambda}{\lambda} \right), & -a - \lambda \leq x_1 \leq -a; 0 \leq y \leq h_c \end{cases} \quad (۴)$$

نرخ کرنش برشی $\dot{\gamma}_{xy}$ هسته فوم برابر است با:

$$\dot{\gamma}_{xy} = \frac{\partial y(x, y)}{\partial x} + \frac{\partial x(x, y)}{\partial y} = \begin{cases} -\frac{\dot{y}_0}{\lambda h_c} y, & a \leq x_1 \leq a + \lambda; 0 \leq y \leq h_c \\ 0, & -a \leq x_1 \leq a; 0 \leq y \leq h_c \\ \frac{\dot{y}_0}{\lambda h_c} y, & -a - \lambda \leq x_1 \leq -a; 0 \leq y \leq h_c \end{cases}$$

¹⁹ Qiu



شکل ۴- سطوح تسلیم پیوسته و ترکیبی ممان خمشی و نیروی غشایی.

نیروی خارجی با جای گذاری معادلات (۴) و (۶-۹) داخل معادله (۳) به دست می آید. بنابراین داریم:

که:

$$\lambda = \begin{cases} h_f \sqrt{\frac{\sigma_f}{\sigma_c} \left[1 + \left(\frac{y_0}{h_f} \right)^2 \right]}, & 0 \leq y_0 \leq h_f \\ h_f \sqrt{\frac{2\sigma_f}{\sigma_c} \left(\frac{y_0}{h_f} \right)}, & y_0 \geq h_f \end{cases} \quad (11)$$

$$P_f = \begin{cases} \frac{\sigma_f h_f^2}{\lambda} \left[1 + \left(\frac{y_0}{h_f} \right)^2 \right] + \sigma_c (\lambda + 2a) + \tau_c h_c, & 0 \leq y_0 \leq h_f \\ \frac{2\sigma_f h_f y_0}{\lambda} + \sigma_c (\lambda + 2a) + \tau_c h_c, & y_0 \geq h_f \end{cases} \quad (10)$$

با جای گذاری معادله (۱۱) در معادله (۱۰) و قرار دادن $\tau_c = 0$ نیروی خارجی برابر است با:

$$P_I = \begin{cases} 2h_f \sqrt{\sigma_f \sigma_c \left[1 + \left(\frac{y_0}{h_f} \right)^2 \right]} + 2\sigma_c a, & 0 \leq y_0 \leq h_f \\ 2h_f \sqrt{\sigma_f \sigma_c \left(\frac{y_0}{h_f} \right)} + 2\sigma_c a, & y_0 \geq h_f \end{cases} \quad (12)$$

می توان نیروی حدی پلاستیکی P_c را به صورت زیر بیان کرد:

$$P_c = \frac{4M_p}{L} = \frac{4\sigma_f h_f (h_f + h_c) + \sigma_c h_c^2}{L} \quad (13)$$

که در معادله (۱۳)، $M_p = \sigma_f h_f (h_f + h_c) + \sigma_c h_c^2 / 4$ ، ممان خمشی حدی پلاستیکی تیر ساندویچی می باشد. براساس معادلات (۱۲) و (۱۳) نیروی عرضی بی بعد شده از فرورفتگی موضعی می توان به صورت زیر به دست آورد:

(معادله ۱۴ در پیوست ۱)

که در معادله (۱۴)، $\bar{\sigma} = \sigma_c / \sigma_f$ ، $P_I^* = P_I / P_c$ ، $\bar{h} = h_f / h_c$

زیر محاسبه می شود.

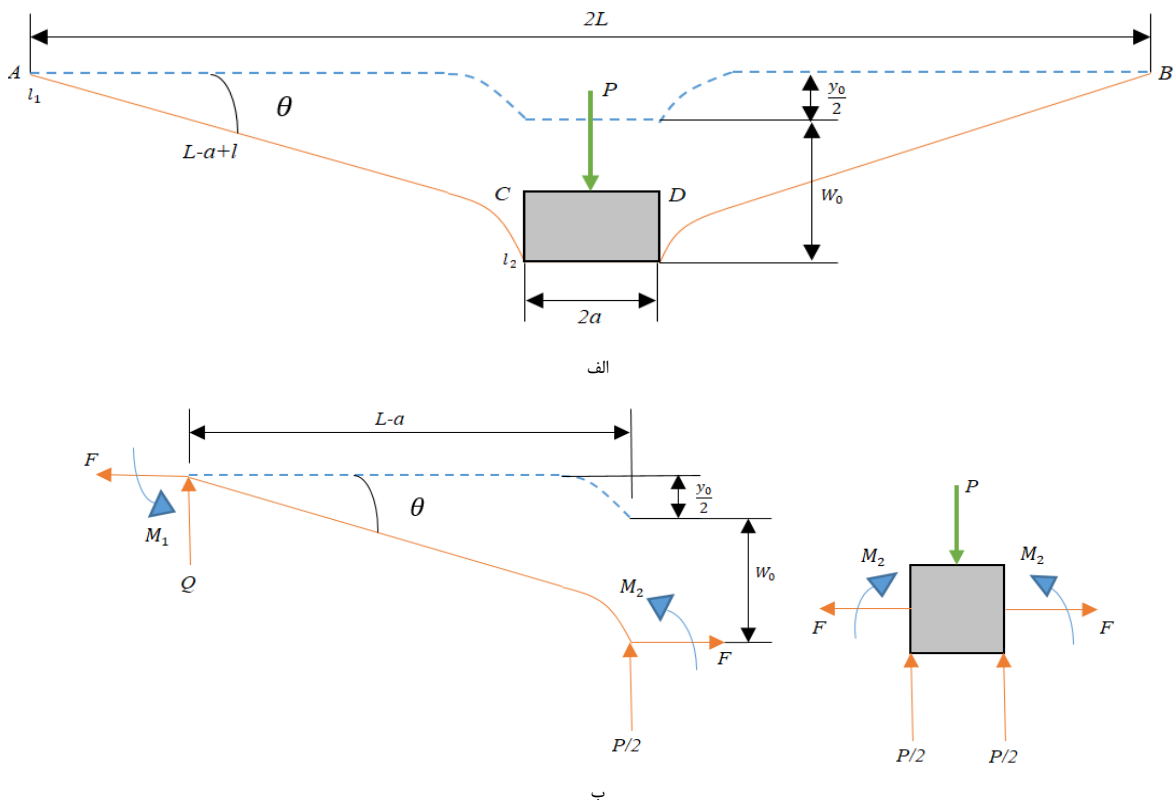
$$E_I^* = \int_{y_0} P_I^* dy_0^* \quad (15)$$

با جای گذاری معادله (۱۴) در معادله (۱۵)، انرژی پلاستیکی جذب شده را می توان به دست آورد.

(معادله ۱۶ در پیوست ۱)

۳-۲- خمش کلی و انحراف فرورفتگی موضعی

انحراف ناشی از خمش کلی تیر ساندویچی هنگامی که نیرو خارجی با نیروی حدی پلاستیکی برابر می شود، ایجاد می گردد. میدان کلی انحراف سطح خنثی ساندویچ تیر در شکل (۵) نشان داده شده است. چون هندسه و شرایط مرزی تیر ساندویچی متقارن است، در نتیجه نیمی از تیر ساندویچی در این تحلیل بررسی شده است (شکل (۵-الف)).



شکل ۵- میدان انحراف کلی سطح خنثی: (الف) مدل انحراف عرضی کلی. (ب) تجزیه و تحلیل نیرو نصف تیر ساندویچی.

ساندویچی فشرده شده، با در نظر گرفتن اثر نیروی غشایی N_n و ممان خمشی M_m به صورت زیر بیان می‌شود:

(معادله ۲۲ در پیوست ۱)

که در معادله (۲۲)، $\bar{m} = M_2/M_P'$ ، $\bar{n} = N_2/N_P'$ ، کرنش فشاری تیر ساندویچی فشرده شده می‌باشد. برای مرحله متراکم فشرده‌سازی هسته فوم، کرنش فشاری متوسط با کرنش متراکم بحرانی برابر است، یعنی $\varepsilon_c = \varepsilon_D$. هنگامی که $\varepsilon_c = 0$ باشد، معادله (۲۲) به معادله (۲۱) کاهش می‌یابد. ممان خمشی حدی پلاستیکی M_P' تیر ساندویچی فشرده شده به صورت زیر محاسبه می‌شود:

$$M_P' = \sigma_f b h_f (h_c' + h_f) + \frac{1}{4} \sigma_c' b h_c'^2 \quad (23)$$

که در معادله (۲۳)، $h_c' = h_c(1 - \varepsilon_c)$ ، $\sigma_c' = \sigma_c/(1 - \varepsilon_c)$ به ترتیب ضخامت و استحکام تسلیم طولی هسته فوم فشرده شده می‌باشد. نیروی غشایی (پوسته‌ای) پلاستیکی طولی N_P' تیر ساندویچی فشرده شده به صورت زیر بیان می‌شود:

$$N_P' = N_P = 2\sigma_f b h_f + \sigma_c b h_c \quad (24)$$

با توجه به اصل جریان پلاستیک شدن از معیار تسلیم معادله (۲۱) برای تیر ساندویچی فشرده نشده، نرخ کرنش تعمیم یافته برای تیر ساندویچی فشرده نشده به صورت محاسبه می‌گردد:

(معادله ۲۵ در پیوست ۱)

به همین ترتیب، با توجه به اصل جریان پلاستیک شدن از معیار تسلیم معادله (۲۲) برای تیر ساندویچی فشرده شده، نرخ کرنش تعمیم یافته برای تیر ساندویچی فشرده شده به صورت محاسبه می‌گردد:

(معادله ۲۶ در پیوست ۱)

$$\frac{\dot{l}_2}{\dot{\theta}} = -\frac{dM_2}{dN_2} = \begin{cases} \frac{\bar{\sigma} + 2\bar{h}}{2\bar{\sigma}} h_c (1 - \varepsilon_c) |\bar{n}|, & 0 \leq |\bar{n}| \leq \frac{\bar{\sigma}}{\bar{\sigma} + 2\bar{h}} \\ \frac{h_c}{2} [|\bar{n}|(\bar{\sigma} + 2\bar{h}) - \bar{\sigma} + (1 - \varepsilon_c)], & \leq 1 \end{cases} \quad (26)$$

با ترکیب معادلات (۱۷) - (۱۹) و (۲۵) - (۲۶)، رابطه بی‌بعد شده بین انحراف کلی W_0 و نیروی محوری غشایی n تیر ساندویچی می‌توان به صورت زیر بیان کرد:

فرض می‌شود که ماکزیمم انحراف خمشی کلی W_0 و کشیدگی کل نیمه سمت چپ ساندویچ تیر l می‌باشد (شکل (۵-ب)). انحراف فرورفتگی موضعی رویه بالا و سطح خنثی به ترتیب l_1 و l_2 (شکل (۳-ب))، بنابراین ماکزیمم انحراف کلی $W_0 + \frac{y_0}{2}$ می‌باشد. عبارت کشیدگی کل l به صورت زیر محاسبه می‌شود:

$$l = l_1 + l_2 \quad (17)$$

که در معادله (۱۷)، l_1 و l_2 طول کشیده شده در دو انتهای نیمه سمت چپ ساندویچ تیر تحت نیروی غشایی است که در شکل (۵-الف) نشان داده شده است. کشیدگی کل در نیمه سمت چپ ساندویچ تیر به صورت زیر بیان می‌شود:

$$l \cong \frac{W_0^2}{2(L-a)} \quad (18)$$

مقدار چرخش زاویه‌ای که در شکل (۵-الف) نشان داده شده است، می‌توان به صورت زیر محاسبه کرد:

$$\theta \cong \frac{W_0}{L-a} \quad (19)$$

معادله تعادل ممان سطح خنثی تیر ساندویچی با فرورفتگی موضعی شکل (۵-ب) به صورت زیر می‌باشد:

$$2(M_1 + M_2) + F(2W_0 + y_0) - P(L - a) = 0 \quad (20)$$

که در معادله (۲۰)، $F = N_1 = N_2 = N$ می‌باشد.

برای تیر ساندویچی معیارهای تسلیم مختلفی توسط محققان بررسی شده است [۲۰، ۲۱، ۲۳، ۲۴]. معیار تسلیم تیر ساندویچی فشرده نشده، با در نظر گرفتن اثر نیروی غشایی (پوسته‌ای) هنگامی که انحراف به دست آمده از ضخامت تیر ساندویچی بزرگ‌تر باشد، همان طور که در شکل (۴) نشان داده شده است، بررسی شده است. برای سطح تسلیم می‌توان نوشت که:

(معادله ۲۱ در پیوست ۱)

که در معادله (۲۱)، $\bar{h} = h_f/h_c$ ، $\bar{\sigma} = \sigma_c/\sigma_f$ ، $n = N_1/N_P$ ، $m = M_1/M_P$ حدی پلاستیکی M_P و نیروی غشایی طولی پلاستیک N_P تیر ساندویچی فشرده نشده، به ترتیب $M_P = \sigma_f h_f (h_f + h_c) + \sigma_c h_c^2/4$ ، $N_P = 2\sigma_f b h_f + \sigma_c b h_c$ می‌باشد. معیار تسلیم تیر

(۲۹)

هنگامی که ساندویچ تیر به یک تک لایه توپر و محکم تحت یک نیروی متمرکز ($\bar{a} \rightarrow 0$) تبدیل شود، یعنی استحکام تسلیم رویه‌ها و هسته فوم با هم برابر باشند (معادله (۲۹) به عبارت زیر تقلیل می‌یابد:

$$P_{II}^* = \begin{cases} W_0^{*2} + 1, & 0 \leq W_0^* \leq 1 \\ 2W_0^*, & W_0^* \geq 1 \end{cases} \quad (۳۰)$$

معادله (۳۰)، با نتیجه به دست آمده توسط جونز [۳۳] سازگار است. کل انحراف سطح خنثی ساندویچ تیر، کل انحراف پانچ، $W_T' = y_0/2 + W_0$ شکل (۵) می‌باشد. ماکزیمم کل انحراف پانچ، W_T در شکل (۶) نشان داده شده است و عبارت مینیمم کل انحراف بی‌بعد شده W_T^* به صورت زیر بیان می‌شود:

$$W_T^* = \frac{W_T}{(h_c + 2h_f)} = \frac{(y_0 + W_0)}{(h_c + 2h_f) = y_0^* + W_0^*} \quad (۳۱)$$

مطابق معادلات (۱۴)، (۲۸) و (۳۱) کل انحراف بی‌بعد شده W_T^* می‌توان محاسبه کرد. انرژی پلاستیکی جذب شده ناشی از انحراف خمشی کلی می‌توان به صورت زیر محاسبه کرد:

$$E_{II}^* = \int_{W_0^*} P_{II}^* dW_0^* \quad (۳۲)$$

با جایگذاری معادله (۲۸) در (۳۲) انرژی پلاستیکی جذب شده محاسبه می‌شود

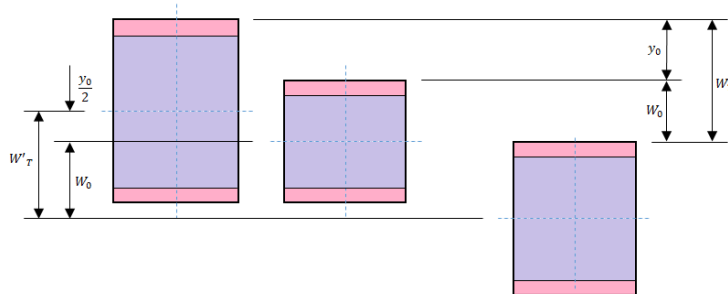
$$W_0^* = \begin{cases} \frac{(\bar{\sigma} + 2\bar{h})(2 - \varepsilon_c)}{2\bar{\sigma}(1 + 2\bar{h})} |n|, & 0 \leq |n| \leq \frac{\bar{\sigma}}{\bar{\sigma} + 2\bar{h}} \\ \frac{2(\bar{\sigma} + 2\bar{h})|n| + 2(1 - \bar{\sigma}) - \varepsilon_c}{2(1 + 2\bar{h})} |n|, & \frac{\bar{\sigma}}{\bar{\sigma} + 2\bar{h}} \leq |n| \leq 1 \end{cases} \quad (۲۷)$$

که در معادله (۲۷)، $W_0^* = W_0 / (h_c + 2h_f)$ می‌باشد. ترکیب معادلات (۲۴) - (۲۰) و (۲۷) و همچنین $\bar{n} = N_2 / N_P'$ ، $n = N_1 / N_P$ ، $m = M_1 / M_P$ ، $\bar{m} = M_2 / M_P'$ نیروی عرضی بی‌بعد شده به صورت زیر محاسبه می‌شود:

(معادله ۲۸ در پیوست ۱)

که در معادله (۲۸)، $W_0^* + y_0^* / 2 = (W_0^* + y_0^* / 2) / (h_c + 2h_f)$ ، $\bar{a} = a / L$ و $y_0^* = y_0 / (h_c + 2h_f) = \varepsilon_c / (1 + 2\bar{h})$ می‌باشد. از معادله (۲۸) می‌توان فهمید که نیروی عرضی بی‌بعد شده به نرخ کرنش فشرده شده ε_c وابسته است. با جای گذاری $\varepsilon_c = 0$ ، معادله (۲۸) به معادله زیر تغییر می‌کند:

$$P_{II}^* = \begin{cases} \frac{1}{1 - \bar{a}} \left[1 + \frac{\bar{\sigma}(1 + 2\bar{h})^2}{4\bar{h}(1 + 4\bar{h})\bar{\sigma}} W_0^{*2} \right], & 0 \leq W_0^* \leq \frac{1}{1 + 2\bar{h}} \\ \frac{1}{1 - \bar{a}} \cdot \frac{(1 + 2\bar{h})[(1 + 2\bar{h})(W_0^{*2} + 1) + 2(\bar{\sigma} - 1)W_0^*]}{4\bar{h}(1 + \bar{h}) + \bar{\sigma}} \cdot \frac{1}{1 + 2\bar{h}}, & \leq W_0^* \leq 1 \\ \frac{1}{1 - \bar{a}} \cdot \frac{2(\bar{\sigma} + 2\bar{h})(1 + 2\bar{h})}{4\bar{h}(1 + \bar{h}) + \bar{\sigma}} W_0^*, & \geq 1 \end{cases}$$



شکل ۶- انحراف فرورفتگی موضعی y_0 ، انحراف کلی خمشی W_0 و انحراف کلی $W_T = y_0 + W_0$ رویی بالایی است. انحراف فرورفتگی موضعی $y_0/2$ ، انحراف خمشی کلی W_0 و انحراف کلی $W_T' = y_0/2 + W_0$ سطح خنثی است.

$$E_{II}^* = \begin{cases} \frac{1}{2(1-\bar{a})} \left[\frac{4\bar{\sigma}(1+2\bar{h})}{(2-\varepsilon_c)[4\bar{h}(1+\bar{h})+\bar{\sigma}]} \left[\frac{1}{3}(1+2\bar{h})W_0^{*3} + \frac{1}{2}\varepsilon_c W_0^* \right] + \left(2 - \frac{(\bar{\sigma}+4\bar{h})}{4\bar{h}(1+\bar{h})+\bar{\sigma}} \right) W_0^* \right], & 0 \leq W_0^* \leq \frac{2-\varepsilon_c}{2(1+2\bar{h})} \\ \frac{4(1+2\bar{h})^2 W_0^{*3} + 12(\bar{\sigma}-1+\varepsilon_c)(1+2\bar{h})W_0^{*2} + (9\varepsilon_c^2 - 12[2(1+\bar{h})-\bar{\sigma}]\varepsilon_c + 12(1+2\bar{h})^2) W_0^*}{12(1-\bar{a})[4\bar{h}(1+\bar{h})+\bar{\sigma}]} \\ + \frac{(2-\varepsilon_c)(-2\varepsilon_c^2+5\varepsilon_c-4\bar{\sigma}\varepsilon_c+2\bar{\sigma}-2)}{12(1+2\bar{h})(1-\bar{a})[4\bar{h}(1+\bar{h})+\bar{\sigma}]}, & \frac{2-\varepsilon_c}{2(1+2\bar{h})} \leq W_0^* \leq 1 - \frac{\varepsilon_c}{2(1+2\bar{h})} \\ \frac{(\bar{\sigma}+2\bar{h})(1+2\bar{h})}{(1-\bar{a})[4\bar{h}(1+\bar{h})+\bar{\sigma}]} \left[W_0^{*2} - \frac{(2+4\bar{h}-\varepsilon_c)^2}{4(1+2\bar{h})^2} \right] + \\ \frac{(2+4\bar{h}-\varepsilon_c)^2(6\bar{\sigma}+5\varepsilon_c+4\bar{h}-4) + (2+4\bar{h}-\varepsilon_c)(9\varepsilon_c^2-12[2(1+\bar{h})-\bar{\sigma}]\varepsilon_c+12(1+2\bar{h})^2)}{24(1+2\bar{h})(1-\bar{a})[4\bar{h}(1+\bar{h})+\bar{\sigma}]} \\ + \frac{(2-\varepsilon_c)(-2\varepsilon_c^2+5\varepsilon_c-4\bar{\sigma}\varepsilon_c+2\bar{\sigma}-2)}{12(1+2\bar{h})(1-\bar{a})[4\bar{h}(1+\bar{h})+\bar{\sigma}]}, & W_0^* \geq 1 - \frac{\varepsilon_c}{2(1+2\bar{h})} \end{cases} \quad (33)$$

هنگامی که ساندویچ تیر به یک تک لایه

توپر و محکم تحت یک نیروی متمرکز ($\bar{a} \rightarrow 0$) تبدیل شود، یعنی استحکام تسلیم رویه‌ها و هسته فوم با هم برابر باشند ($\sigma_f = \sigma_c$ ($\bar{\sigma} = 1$))، معادله (۳۳) به عبارت زیر تقلیل می‌یابد:

$$E_{II}^* = \begin{cases} \frac{1}{3}W_0^{*3} + W_0^*, & 0 \leq W_0^* \leq 1 \\ W_0^{*2} + \frac{1}{3}, & W_0^* \geq 1 \end{cases} \quad (34)$$

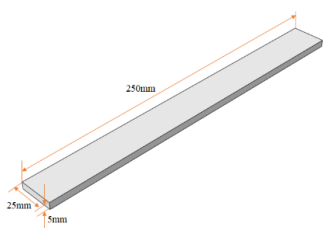
معادله (۳۴)، با نتیجه به دست آمده توسط جونز [۳۳] سازگار است. مطابق معادلات (۱۵) و (۳۲) کل انرژی پلاستیکی جذب شده E_T^* تیر ساندویچی به صورت زیر محاسبه می‌شود:

$$E_T^* = E_I^* + E_{II}^* = \int_{y_0^*} P_I^* dy_0^* + \int_{W_0^*} P_{II}^* dW_0^* \quad (35)$$

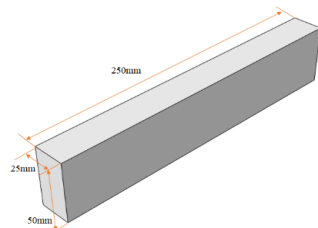
۳- شبیه سازی عددی

برای بررسی مدل حاضر در این پژوهش، از روش شبیه سازی عددی با نرم افزار آباکوس^۱ برای بررسی انحراف و فرورفتگی موضعی تیر ساندویچی که تحت بار عرضی قرار می‌گیرد، استفاده شده است. تیر ساندویچی مورد بررسی در این پژوهش از جنس تیر فوم آلومینیومی بوده که دارای تکیه‌گاه دوسرگيردار می‌باشد. نیرو از طریق یک پانچ که تمام عرض تیر را دربر می‌گیرد، به ساندویچ وارد می‌شود. ابعاد و خواص مکانیکی پانچ و تیر ساندویچی به صورت زیر می‌باشد:

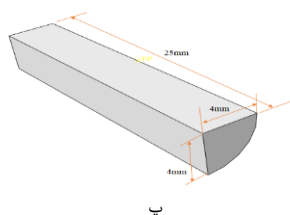
چون هندسه و شرایط مرزی تیر ساندویچی متقارن است بنابراین، نصف تیر ساندویچی طراحی و شبیه سازی شده است. برای مدل سازی پانچ در محیط آباکوس یک چهارم دایره به شعاع 4mm رسم کرده و به اندازه 25mm بعد طولی داده شده است. برای مدل سازی رویه‌ها و هسته به- ترتیب یک مستطیل به ابعاد 25mm×5mm و 250mm×50mm رسم کرده و سپس به اندازه 250mm بعد طولی داده شده است (شکل ۷).



الف



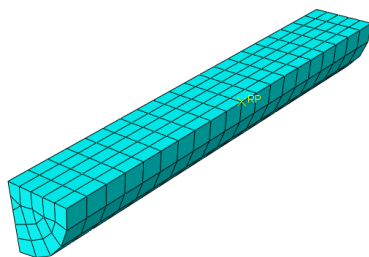
ب



پ

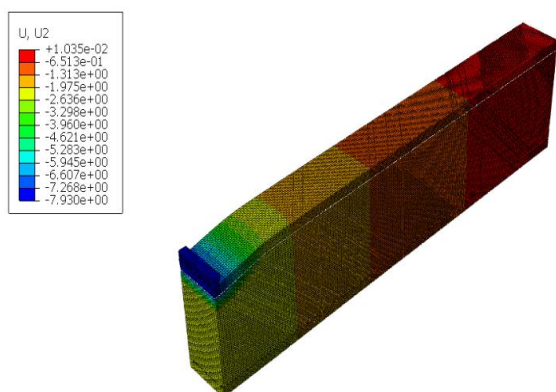
شکل ۷- مدل الف (رویه‌ها ب) هسته فوم پ) پانچ

^۱ Abaqus



شکل ۸- المان بندی الف) رویه ها ب) هسته فوم پ) پانچ

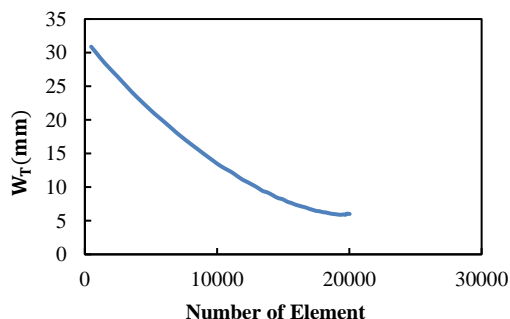
در این مدل از شرط مرزی ENCASTRE در ابتدای و انتهای تیر و محدود کردن حرکت پانچ در جهت Y (U2) استفاده شده است. و همچنین یک شرط اعمال نیرو برای اعمال به پانچ و ساندویچ در نظر گرفته شده است. در شکل (۹) کانتور انحراف ساندویچ تیر نشان داده شده است.



شکل ۹. توزیع کرنش پلاستیک معادل نهایی تیر ساندویچی.

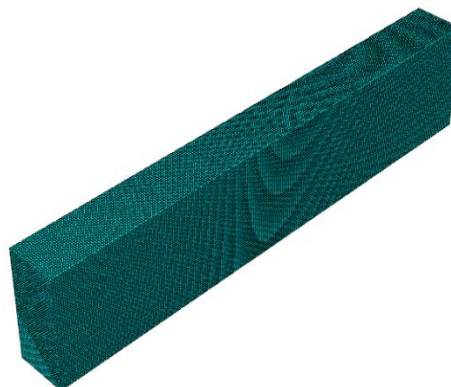
۳-۱- بررسی همگرایی مش بندی

در شکل (۱۰) همگرایی انحراف نهایی تیر ساندویچی بر حسب تعداد المان ها بررسی شده است. با توجه به نمودار، مشاهده می شود که با افزایش المان بندی (افزایش تعداد المان ها) انحراف نهایی ساندویچ تیر کاهش می یابد.



شکل ۱۰- همگرایی انحراف نهایی تیر ساندویچی بر حسب تعداد

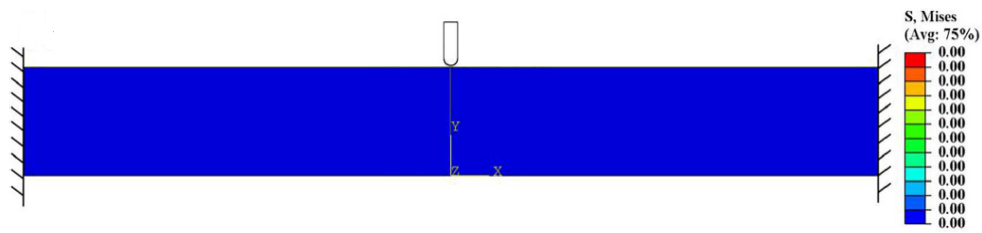
جنس رویه ها از یک جنس آلومینیوم با خواص مکانیکی $E_f = 80 \text{ GPa}$ ، $\sigma_f = 80 \text{ MPa}$ ، $\nu_f = 0.3$ و $\rho_f = 2700 \text{ kg/m}^3$ می باشد. تئوری جریان سخت شدن ایزوتروپیک مبتنی بر معیار تسلیم فون میزرا استفاده شده است [۳۸]. جنس هسته از نوع فوم آلومینیوم (Crushable foam) با خواص مکانیکی $E_c = 1 \text{ GPa}$ ، $\sigma_c = 3 \text{ MPa}$ ، $\nu_c = 0.3$ و $\rho_c = 2700 \text{ kg/m}^3$ است. برای توصیف رفتار فوم آلومینیوم [۲۱] از مدل دزشپند و فلک^۱ [۴۵] استفاده شده است. بین پانچ و رویه بالایی هیچ تماس لغزشی مماسی وجود ندارد. چون ضربه زننده یک جسم صلب می باشد، المان بندی خاصی مد نظر نیست. و دارای یک المان یکنواخت مستطیلی می باشد. ضربه زننده در کل 304 المان چهار نقطه ای به صورت R3D4 می باشد. برای مدل سازی تیر ساندویچی از المان هشت نقطه ای بلوک خطی با استفاده از روش انتگرال گیری کاهش یافته یا در آباکوس به صورت C3D8R استفاده شده است. تعداد المان ها ۱۶۰۰۰ المان و در جهت طولی به ترتیب ۷ و ۵۰ المان در جهت ضخامت برای هسته و رویه ها می باشد (شکل ۸). مطابق تحقیقات انجام شده توسط هو^۲ و همکارانش [۳۶، ۴۲-۴۴]، تیر المان محدود دو بعدی برای حل کامل همگرایی این مدل موثر است.



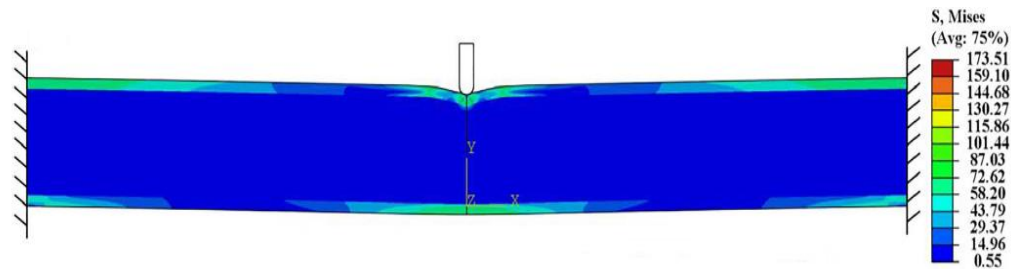
² Hu

¹ Deshpande – Fleck

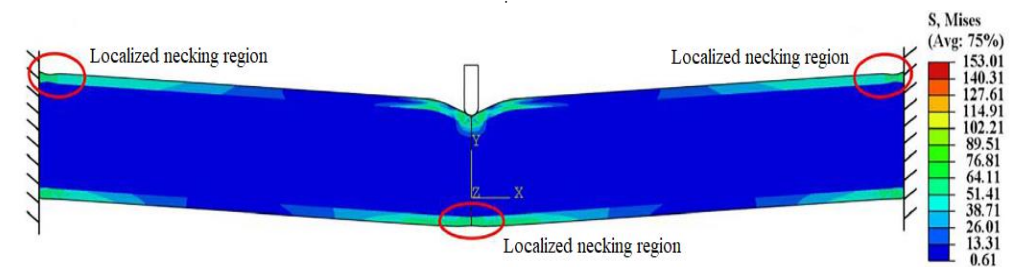
المان‌ها



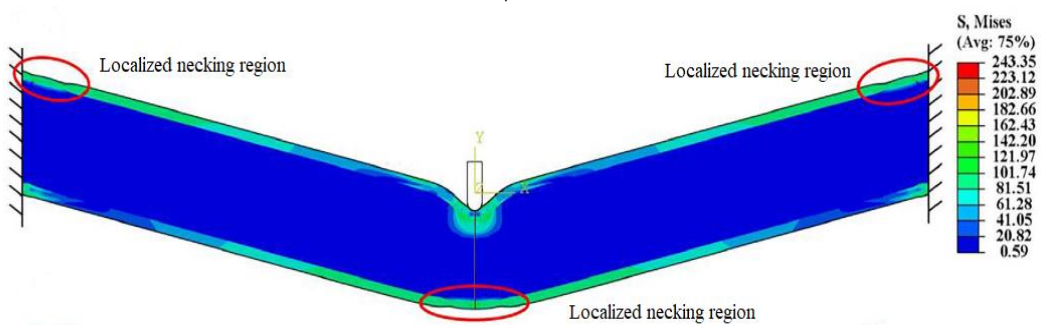
الف



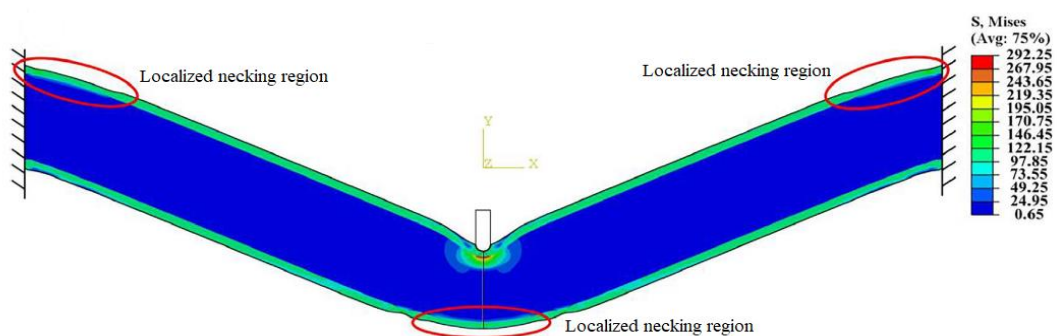
ب



پ



ت



ث

شکل ۱۱- نتایج شبیه‌سازی به‌دست آمده از فرآیند انحراف همراه با فرورفتگی موضعی تیر ساندویچی دوسرگیردار تحت بارگذاری عرضی.

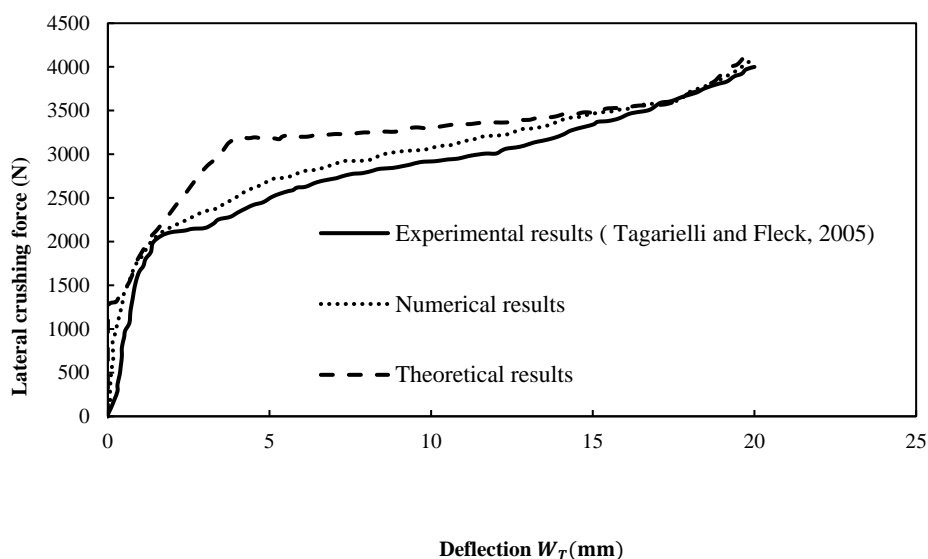
بارگذاری عرضی ($\bar{a}=0$ ، $\bar{c}=0.2$ ، $\bar{h}=0.1$ ، $\bar{\sigma}=0.1$) در شکل (۱۱) نشان داده شده است. رفتار انحراف تیر ساندویچی تحت بارگذاری عرضی شامل دو مرحله است:

۴- نتایج و بحث

نتایج شبیه‌سازی به‌دست آمده از فرآیند انحراف همراه با فرورفتگی موضعی تیر ساندویچی دوسرگیردار تحت

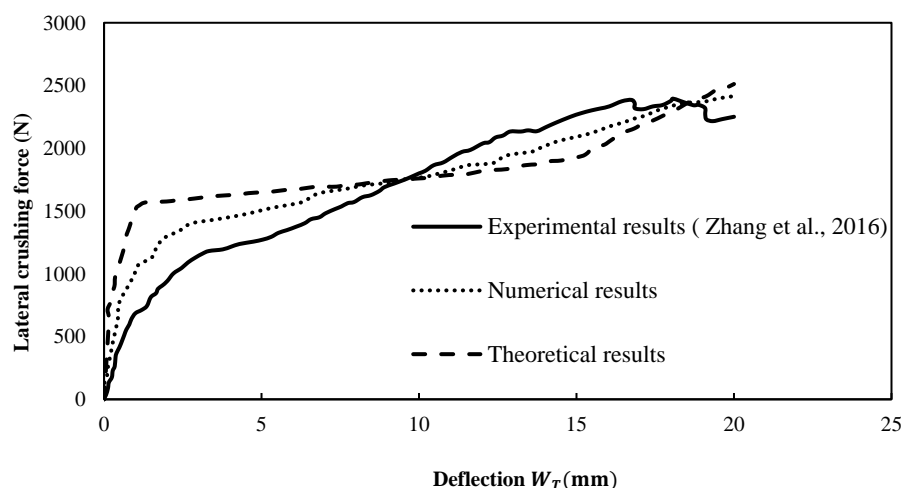
ترکیب شده (شامل خمش کلی و فرورفتگی موضعی) همان-
 طور که در شکل (۱۱-ب)، (۱۱-پ)، (۱۱-ه) نشان داده شده است،
 وجود دارد. که دلیل آن این است که نیروی غشایی در
 افزایش فرآیند انحراف ساندویچ تیر نقش مهمی دارد.
 بنابراین درستی فرضیه‌ها اثبات می‌شود که:
 ۱- فعل و انفعالی بین ممان خمشی و نیروی غشایی در
 مرحله تغییر شکل اولیه وجود دارد.
 ۲- نیروی غشایی در طول مرحله خمش کلی وجود

۱- مرحله فرورفتگی موضعی (شکل (۱۱-ب)، (۱۱-پ)).
 ۲- مرحله ترکیب شده (شامل خمش کلی و فرورفتگی
 موضعی) (شکل (۱۱-ت)، (۱۱-ه)).
 نتایج شبیه‌سازی فرآیند انحراف ساندویچ تیر تطابق خوبی
 با نتایج به دست آمده توسط تاگاریلی و همکارانش [۱۷] و
 تاگاریلی و فلک [۱۸] که در شکل (۲) نشان داده شده
 است، دارد. توجه به این نکته مهم است که پدیده گلویی
 شدن موضعی در انتهای ثابت و مرکز رویه‌ها در طول مرحله
 دارد.



$2L = 100\text{mm}$
 $2a = 3.5\text{mm}$
 $h_f = 0.8\text{mm}$
 $h_c = 15\text{mm}$
 $E_f = 70\text{GPa}$
 $E_c = 1.06\text{GPa}$
 $\sigma_f = 30\text{MPa}$
 $\sigma_c = 2.1\text{MPa}$

الف



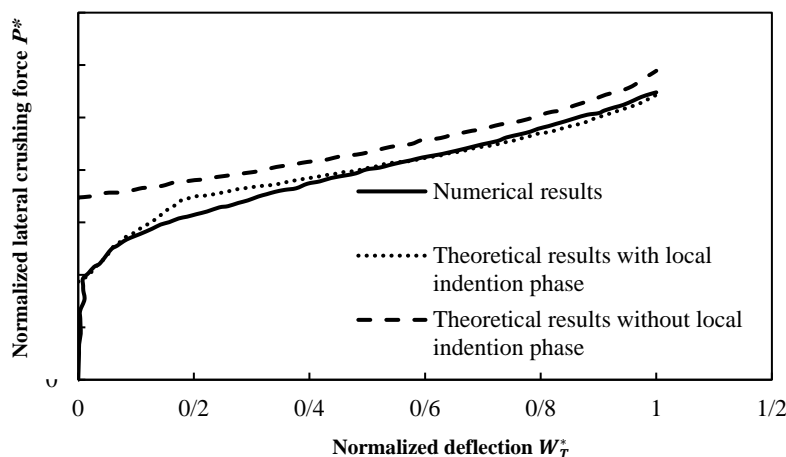
$2L = 240\text{mm}$
 $2a = 0\text{mm}$
 $h_f = 0.5\text{mm}$
 $h_c = 14.2\text{mm}$
 $E_f = 69\text{GPa}$
 $E_c = 0.5\text{GPa}$
 $\sigma_f = 180\text{MPa}$
 $\sigma_c = 2.23\text{MPa}$

ب

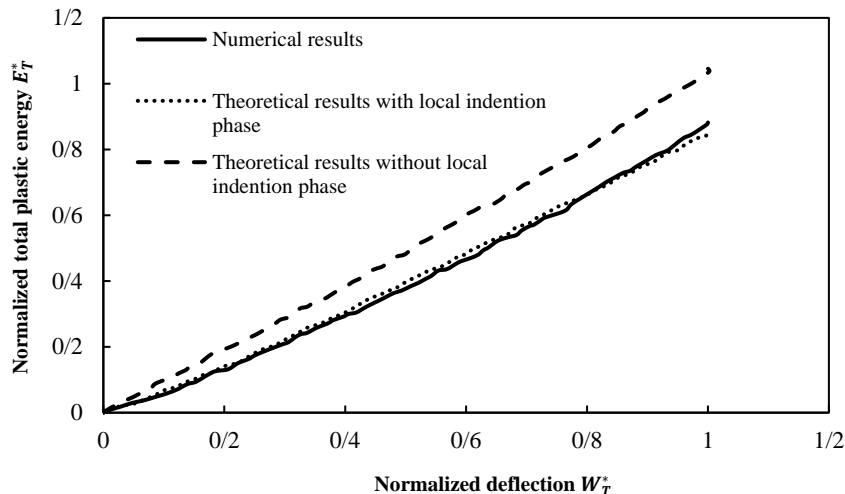
شکل ۱۲- مقایسه نتایج تحلیلی و عددی با نتایج تجربی برای نیروی لهیدگی عرضی (الف) نتایج تجربی به دست آمده توسط تاگاریلی و فلک [۱۸] ($\bar{a}=0.035$, $\bar{c}=0.3$, $\bar{h}=0.05$) و نتایج تجربی به دست آمده توسط زانگ و همکارانش [۴۶] ($\bar{a}=0$)
 $\bar{\sigma}=0.012$, $\bar{c}=0.118$, $\bar{h}=0.035$).

شده است. نتایج مدل تحلیلی تطابق خوبی با نتایج آزمایشگاهی توسط تاگاریلی و فلک [۱۸] ($\bar{a}=0.035$)، همکارانش [۴۶] ($\bar{a}=0$)، $\bar{c}=0.118$ ، $\bar{h}=0.035$ و $\bar{\sigma}=0.012$) دارد، که به ترتیب در شکل (۱۲-الف) و (۱۲-ب) نشان داده شده است.

رابطه بین انحراف کل W_T و نیروی لهیدگی پلاستیکی عرضی P با معادلات (۱۴)، (۲۸) و (۳۱) بیان می‌شود. نیروی لهیدگی پلاستیکی عرضی P به پارامترهای هندسی \bar{c} ، \bar{a} ، \bar{h} و پارامترهای خواصی $\bar{\sigma}$ ، $\bar{\epsilon}_c$ وابسته است. در شکل (۱۲) نتایج مدل تحلیلی و عددی با نتایج آزمایشگاهی گذشته برای انحراف همراه با فرورفتگی موضعی تیر ساندویچی کاملاً گیردار تحت بارگذاری عرضی شبه استاتیکی بررسی و مقایسه



الف



ب

شکل ۱۳- مقایسه نتایج تحلیلی با نتایج عددی برای رفتار انحراف بزرگ با $\bar{c}=0.2$ ، $\bar{h}=0.1$ و $\bar{\sigma}=0.1$ تحت بارگذاری عرضی توسط پانچ ($\bar{a}=0$) الف) نیروی لهیدگی عرضی بی‌بعد شده P^* ب) کل انرژی پلاستیکی بی‌بعد شده E_T^* .

اثر فرورفتگی موضعی تطابق خوبی با نتایج عددی دارد. نتایج مدل تحلیلی بدون در نظر گرفتن اثر فرورفتگی موضعی از نتایج عددی و مرحله در نظر گرفتن فرورفتگی موضعی بزرگ‌تر است. در نتیجه فرورفتگی موضعی نقش مهمی در

در شکل (۱۳) مدل تحلیلی با نتایج شبیه‌سازی برای رفتار انحراف ساندویچ تیر با شرایط $\bar{a}=0$ ، $\bar{c}=0.2$ ، $\bar{h}=0.1$ ، $\bar{\sigma}=0.1$ بررسی و مقایسه شده است. با توجه به شکل (۱۳) می‌توان نتیجه گرفت که مدل تحلیلی با در نظر گرفتن

^۱ Zhang

روی کل انحراف در نظر گرفته نشود، انرژی پلاستیکی کل ساندویچ تیر ممکن است بیش از حد مجاز شود.

۵- نتیجه گیری

با در نظر گرفتن اثر فرورفتگی موضعی (محل) و همچنین مقاومت هسته فوم روی روند کلی انحراف تیر ساندویچی، یک مدل تحلیلی و عددی جدید برای اندازه گیری تغییر شکل های بزرگ همراه با فرورفتگی موضعی یک تیر ساندویچی تحت بارگذاری عرضی شبه استاتیکی بررسی شده است. با توجه به نتایج به دست آمده می توان نتیجه گرفت که هنگامی که انحراف ساندویچ تیر از ضخامت رویه ها بزرگ تر می شود، مرحله فرورفتگی موضعی نقش مهمی روی انحراف فروپاشی اولیه ساندویچ تیر دارد. نتایج مدل تحلیلی با نتایج شبیه سازی عددی و نتایج تجربی گذشته تطابق خوبی دارد. در نتیجه می توان گفت که مدل تحلیلی ارائه شده در این پژوهش می تواند رفتار انحراف ساندویچ تیر همراه با فرورفتگی عرضی به طور منطقی پیش بینی کند. همچنین انرژی پلاستیکی کل ساندویچ تیر بدون نظر گرفتن مرحله فرورفتگی موضعی، در حالت تحلیلی بیش تر از حالت شبیه سازی عددی است.

انحراف ساندویچ تیر دارد. اگر در مدل تحلیلی اثر فرورفتگی موضعی روی کل انحراف در نظر گرفته نشود، نیروی لهیدگی پلاستیکی عرضی ساندویچ تیر ممکن است بیش از حد مجاز شود.

هنگامی که $0 \leq W_T^* \leq 0.23$ و $W_T^* \geq 0.23$ باشد، انحراف ساندویچ تیر به ترتیب در مرحله فرورفتگی موضعی و مرحله خمش کلی قرار دارد. نتایج تحلیلی نیروی لهیدگی پلاستیکی عرضی در $W_T^* = 0.23$ یک نقطه تبدیل از مرحله فرورفتگی موضعی به مرحله خمش کلی است، که از نتایج عددی بزرگ تر می باشد. دلیل این امر این است که در مدل تحلیلی مرحله فرورفتگی موضعی از مرحله خمش کلی مستقل است، ولی هر دو مرحله از نظر نتایج عددی به هم دیگر پیوسته می باشد. رابطه بین انحراف بی بعد شده W_T^* و کل انرژی پلاستیکی بی بعد شده E_T^* با معادلات (۱۶)، (۳۱)، (۳۳) بیان می شود، که در شکل (۱۳-ب) نشان داده شده است. در شکل (۱۳) نتایج تحلیلی با در نظر گرفتن اثر فرورفتگی موضعی تطابق خوبی با نتایج عددی دارد. نتایج مدل تحلیلی بدون در نظر گرفتن اثر فرورفتگی موضعی از نتایج عددی و مرحله در نظر گرفتن فرورفتگی موضعی بزرگ تر است. اگر در مدل تحلیلی اثر فرورفتگی موضعی

پیوست ۱

$$P_i^* = \begin{cases} \frac{2\bar{c}\sqrt{\bar{\sigma}}\sqrt{\bar{h}^2 + [(1+2\bar{h})y_0^*]^2} + 2\bar{a}\bar{\sigma}}{\bar{c}^2[4\bar{h} + (1+\bar{h}) + \bar{\sigma}]}, & 0 \leq y_0^* \leq \frac{\bar{h}}{1+2\bar{h}} \\ \frac{2\bar{c}\sqrt{\bar{h}\bar{\sigma}}\sqrt{2(1+2\bar{h})y_0^* + 2\bar{a}\bar{\sigma}}}{\bar{c}^2[4\bar{h} + (1+\bar{h}) + \bar{\sigma}]}, & y_0^* \geq \frac{\bar{h}}{1+2\bar{h}} \end{cases} \quad (14)$$

$$E_i^* = \begin{cases} \frac{\sqrt{\bar{\sigma}}y_0^*\sqrt{\bar{h}^2 + [(1+2\bar{h})y_0^*]^2}}{\bar{c}[4\bar{h} + (1+\bar{h}) + \bar{\sigma}]} + \frac{2\bar{a}\bar{\sigma}y_0^*}{\bar{c}^2[4\bar{h} + (1+\bar{h}) + \bar{\sigma}]} \\ + \frac{\sqrt{\bar{\sigma}}\bar{h}^2 \ln\left[\frac{1+2\bar{h}}{\bar{h}}y_0^* + \frac{1}{\bar{h}}\sqrt{\bar{h}^2 + [(1+2\bar{h})y_0^*]^2}\right]}{\bar{c}(1+2\bar{h})[4\bar{h} + (1+\bar{h}) + \bar{\sigma}]}, & 0 \leq y_0^* \leq \frac{\bar{h}}{1+2\bar{h}} \\ \frac{\bar{c}\sqrt{2\bar{\sigma}(1+2\bar{h})}\left[\sqrt{\frac{\bar{h}}{y_0^*}} - \sqrt{1+2\bar{h}}\right] + 2\bar{a}\bar{\sigma}\left(y_0^* - \frac{\bar{h}}{1+2\bar{h}}\right)}{\bar{c}^2[4\bar{h} + (1+\bar{h}) + \bar{\sigma}]} \\ + \frac{\sqrt{\bar{\sigma}}\bar{c}\bar{h}^2[\sqrt{2} + \ln(1+\sqrt{2})] + 2\bar{a}\bar{c}\sqrt{\bar{\sigma}}\bar{h}}{\bar{c}^2(1+2\bar{h})[4\bar{h} + (1+\bar{h}) + \bar{\sigma}]}, & y_0^* \geq \frac{\bar{h}}{1+2\bar{h}} \end{cases} \quad (16)$$

$$\begin{cases} |\bar{m}| + \frac{(\bar{\sigma} + 2\bar{h})^2}{4\bar{\sigma}\bar{h} + (1 + \bar{h}) + \bar{\sigma}^2} \bar{n}^2 = 1, & 0 \leq |\bar{n}| \leq \frac{\bar{\sigma}}{\bar{\sigma} + 2\bar{h}} \\ |\bar{m}| + \frac{[(\bar{\sigma} + 2\bar{h})|\bar{n}| + (1 - \bar{\sigma})]^2 - (1 - 2\bar{h})^2}{4\bar{h} + (1 + \bar{h}) + \bar{\sigma}} = 0, & \frac{\bar{\sigma}}{\bar{\sigma} + 2\bar{h}} \leq |\bar{n}| \leq 1 \end{cases} \quad (21)$$

$$\begin{cases} |\bar{m}| + \frac{(1 - \varepsilon_c)(\bar{\sigma} + 2\bar{h})^2}{4\bar{\sigma}\bar{h} + (1 - \varepsilon_c + \bar{h}) + (1 - \varepsilon_c)\bar{\sigma}^2} \bar{n}^2 = 1, & 0 \leq |\bar{n}| \leq \frac{\bar{\sigma}}{\bar{\sigma} + 2\bar{h}} \\ |\bar{m}| + \frac{(|\bar{n}| - 1)(\bar{\sigma} + 2\bar{h})[(\bar{\sigma} + 2\bar{h})|\bar{n}| + 2\bar{h} - \bar{\sigma} + 2(1 - \varepsilon_c)]}{4\bar{h} + (1 - \varepsilon_c + \bar{h}) + \bar{\sigma}(1 - \varepsilon_c)} = 0, & \frac{\bar{\sigma}}{\bar{\sigma} + 2\bar{h}} \leq |\bar{n}| \leq 1 \end{cases} \quad (22)$$

$$\frac{l_1}{\theta} = -\frac{dM_1}{dN_1} = \begin{cases} \frac{\bar{\sigma} + 2\bar{h}}{2\bar{\sigma}} h_c |n|, & 0 \leq |n| \leq \frac{\bar{\sigma}}{\bar{\sigma} + 2\bar{h}} \\ \frac{h_c}{2} [|n|(\bar{\sigma} + 2\bar{h}) - \bar{\sigma} + 1], & \frac{\bar{\sigma}}{\bar{\sigma} + 2\bar{h}} \leq |n| \leq 1 \end{cases} \quad (25)$$

$$\frac{l_2}{\theta} = -\frac{dM_2}{dN_2} = \begin{cases} \frac{\bar{\sigma} + 2\bar{h}}{2\bar{\sigma}} h_c (1 - \varepsilon_c) |\bar{n}|, & 0 \leq |\bar{n}| \leq \frac{\bar{\sigma}}{\bar{\sigma} + 2\bar{h}} \\ \frac{h_c}{2} [|\bar{n}|(\bar{\sigma} + 2\bar{h}) - \bar{\sigma} + (1 - \varepsilon_c)], & \frac{\bar{\sigma}}{\bar{\sigma} + 2\bar{h}} \leq |\bar{n}| \leq 1 \end{cases} \quad (26)$$

$$P_{II}^* = \begin{cases} \frac{1}{2(1 - \bar{a})} \left[2 - \frac{(\bar{\sigma} + 4\bar{h})}{4\bar{h}(1 + 4\bar{h})\bar{\sigma}} + \frac{4\bar{\sigma}(1 + 2\bar{h})}{(2 - \varepsilon_c)[4\bar{h}(1 + 4\bar{h})\bar{\sigma}]} [(1 + 2\bar{h})W_0^{*2} + \varepsilon_c W_0^*] \right], & 0 \leq W_0^* \leq \frac{2 - \varepsilon_c}{2(1 + 2\bar{h})} \\ \frac{1}{1 - \bar{a}} \cdot \frac{(1 + 2\bar{h})W_0^{*2} + 2(\bar{\sigma} - 1 + \varepsilon_c)(1 + 2\bar{h})W_0^* + \left(\frac{3}{4}\varepsilon_c^2 - [2(1 + \bar{h}) - \bar{\sigma}]\varepsilon_c + (1 + 2\bar{h})^2\right)}{4\bar{h}(1 + \bar{h}) + \bar{\sigma}}, & \frac{2 - \varepsilon_c}{2(1 + 2\bar{h})} \leq W_0^* \leq 1 - \frac{\varepsilon_c}{2(1 + 2\bar{h})} \\ \frac{1}{1 - \bar{a}} \cdot \frac{2(\bar{\sigma} + 2\bar{h})(1 + 2\bar{h})}{4\bar{h}(1 + \bar{h}) + \bar{\sigma}} \left(W_0^* + \frac{\varepsilon_c}{2(1 + 2\bar{h})} \right), & W_0^* \geq 1 - \frac{\varepsilon_c}{2(1 + 2\bar{h})} \end{cases} \quad (28)$$

Symbols

 $2L$ طول تیر ساندویچی b پهنا تیر ساندویچی P نیرو $2a$ پهنا پانچ h_f ضخامت رویه‌ها h_c ضخامت هسته

Symbols

 M_P ممان خمشی کاملاً پلاستیک N_P نیروی پوسته‌ای (غشایی) کاملاً پلاستیک $\dot{\varepsilon}_y$ نرخ کرنش عرضی $\dot{\gamma}_{xy}$ نرخ کرنش برشی \dot{e} نرخ کشش قسمت تغییر شکل یافته رویه بالایی Ω ناحیه انتگرال‌گیری هسته

σ_f استحکام تسلیم رویه‌ها	$m = M/M_P$ نیروی عرضی ممانی
τ_f تنش برشی رویه‌ها	$n = N/N_P$ نیروی محوری غشایی
V_f نسبت پواسون رویه‌ها	$\partial\Pi$ تابع تسلیم
ρ_f چگالی رویه‌ها	P_c نیروی حدی پلاستیکی
σ_c استحکام تسلیم هسته	E_I^* انرژی پلاستیکی جذب شده
τ_c تنش برشی هسته	W_0 ماکزیمم انحراف خمشی
ν_c نسبت پواسون هسته	l کشیدگی کل تیر ساندویچی
ρ_c چگالی هسته	θ چرخش زاویه‌ای
\mathcal{E}_D چگالی متراکم بحرانی هسته	M_P' ممان خمشی حدی پلاستیکی
γ_0 انحراف فشردگی رویه بالایی	N_P' نیروی غشایی طولی پلاستیکی
$\dot{x}(x, y)$ سرعت محوری	\mathcal{E}_c کرنش فشاری
$\dot{y}(x, y)$ سرعت عرضی	W_T' کل انحراف سطح خنثی تیر ساندویچی
h نصف طول تغییر شکل یافته رویه بالایی	W_T^* کل انحراف بی‌بعد شده
ϕ زاویه چرخش	E_{II}^* انرژی پلاستیکی جذب شده ناشی از انحراف
E_c مدول یانگ هسته	E_T^* کل انرژی جذب شده بی‌بعد شده
E_f مدول یانگ رویه‌ها	a پهنا بی‌بعد شده
C ضخامت بی‌بعد شده	\bar{h} نسبت ضخامت‌ها

مراجع

- [1] M.F. Ashby, A.G. Evans, N.A. Fleck, L.J. Gibson, J.W. Hutchinson, and H.N.C. Wadley. "Metal foam: a design guide." *Washington: Butterworth*, (2000).
- [2] M.T. Tilbrook, V.S. Deshpande, and N.A. Fleck. "The impulsive response of sandwich beams: analytical and numerical investigation of regimes of behavior." *Journal of the Mechanics and Physics of Solids*, no. 54 (2006): 2242–2280.
- [3] S.Q. Li, X. Li, Z.H. Wang, G.Y. Wu, G.X. Lu, and L.M. Zhao. "Finite element analysis of sandwich panels with stepwise graded aluminum honeycomb cores under blast loading." *Composite Part A*, no. 80 (2016): 1–12.
- [4] Z.W. Zhou, Z.H. Wang, L.M. Zhao, and X.F. Shu. "Experimental investigation on the yield behavior of Nomex honeycombs under combined shear-compression." *Latin American Journal of Solids and Structures*, no. 9 (2012): 515–530.

- [5] T. Jin, Z.W. Zhou, Z.H. Wang, G.Y. Wu, and X.F. Shu. "Experimental study on the effects of specimen in-plane size on the mechanical behavior of aluminum hexagonal honeycombs." *Material Science Engineering A*, no. 635 (2015): 23–35.
- [6] H.J. Rathbun, F.W. Zok, S.A. Waltner, C. Mercer, A.G. Evans, and D.T. Queheillalt. "Structural performance of metallic sandwich beams with hollow truss cores." *Acta Materialia*, no. 54 (2006): 5509–5518.
- [7] P.W. Zhang, Z.H. Wang, and L.M. Zhao. "Dynamic crushing behavior of open-cell aluminum foam with negative Poisson's ratio." *Journal of Applied Physics A*, no. 123 (2017): 311–321.
- [8] Z.F. Liu, W.Q. Hao, J.M. Xie, J.S. Lu, R. Huang, and Z.H. Wang. "Axial-impact buckling modes and energy absorption properties of thin-walled corrugated tubes with sinusoidal patterns." *Thin Walled Structures*, no. 94 (2015): 410–423.
- [9] C. Kılıçaslan, İ.K. Odacı, and M. Güden. "Single- and double-layer aluminum corrugated core sandwiches under quasi-static and dynamic loadings." *Journal of Sandwich Structures and Material*, no. 18 (2016): 667–692.
- [10] S.Q. Li, G.X. Lu, Z.H. Wang, L.M. Zhao, and G.Y. Wu. "Finite element simulation of metallic cylindrical sandwich shells with graded aluminum tubular cores subjected to internal blast loading." *International Journal of Mechanical Sciences*, no. 96 (2015): 1–12.
- [11] H.W. Yang, J.X. Hu, L. Xu, and G.Y. Lu. "Peripheral deformation and buckling of stainless steel hemispherical shells compressed by a flat plate." *Latin American Journal of Solids and Structures*, no. 13 (2016): 257–271.
- [12] P.W. Zhang, X. Li, T. Jin, Z.H. Wang, and L.M. Zhao. "Dynamic response of circular metallic sandwich panels under projectile impact." *Journal of Sandwich Structures and Material*, no. 19 (2016): 572–594.
- [13] J.J. Zhang, Z.H. Wang, and L.M. Zhao. "Dynamic response of functionally graded cellular materials based on the Voronoi model." *Composite Part B*, no. 85 (2016): 176–187.
- [14] S.Q. Li, X. Li, Z.H. Wang, G.Y. Wu, G.X. Lu, and L.M. Zhao. "Sandwich panels with layered graded aluminum honeycomb cores under blast loading." *Composite Structures*, no. 173 (2017): 242–254.
- [15] T.M. McCormack, R. Miller, O. Kesler, and L.J. Gibson. "Failure of sandwich beams with metallic foam cores." *International Journal of Solids Structures*, no. 38 (2001): 4901–4920.
- [16] J.L. Yu, E.H. Wang, J.R. Li and Z.J. Zheng. "Static and low-velocity impact behavior of sandwich beams with closed-cell aluminum-foam core in three-point bending." *International Journal of Impact Engineering*, no. 35 (2008): 885–894.
- [17] V.L. Tagarielli, N.A. Fleck and V.S. Deshpande. "Collapse of clamped and simply supported composite sandwich beams in three-point bending." *Composite Part B*, no. 35 (2004): 523–534.
- [18] V.L. Tagarielli, and N.A. Fleck. "A comparison of the structural response of clamped and simply supported sandwich beams with aluminum faces and a metal foam core." *Journal of Applied Physics A*, no. 72 (2005): 408–417.
- [19] F. Zhu, Z.H. Wang, G.X. Lu, and L.M. Zhao. "Analytical investigation and optimal design of sandwich panels subjected to shock loading." *Material Design*, no. 30 (2009): 91–100.
- [20] L. Jing, Z.H. Wang and L.M. Zhao. "An approximate theoretical analysis for clamped cylindrical sandwich shells with metallic foam cores subjected to impulsive loading." *Composite Part B*, no. 60 (2014): 150–157.
- [21] R.W. Mao, G.X. Lu, Z.H. Wang, G.X. Lu, and L.M. Zhao. "Large deflection behavior of circular sandwich plates with metal foam-core." *European Journal Mechanics A/Solids*, no. 55 (2016): 57–66.
- [22] Z.H. Wang, L. Jing, J.G. Ning, and L.M. Zhao. "The structural response of clamped sandwich beams subjected to impact loading." *Composite Structures*, no. 93 (2011): 1300–1308.
- [23] Q. Qin, and T.J. Wang. "An analytical solution for the large deflections of a slender sandwich beam with a metallic foam core under transverse loading by a flat punch." *Composite Structures*, no. 88 (2008): 509–518.
- [24] F. Zhu, Z.H. Wang, G. Lu, and G. Nurick. "Some theoretical considerations on the dynamic response of sandwich structures under impulsive loading." *International Journal of Impact Engineering*, no. 37 (2010): 625–637.
- [25] B. Castanié, J.J. Barrau, and J.P. Jaouen. "Theoretical and experimental analysis of asymmetric sandwich structures." *Composite Structures*, no. 55 (2002): 295–306.

- [26] H. Hu, S. Belouettar, M. Potier-Ferry, E.M. Daya, and A. Makradi. "Multi-scale nonlinear modelling of sandwich structures using the Arlequin method." *Composite Structures*, no. 92 (2010): 515–522.
- [27] H. Hu, S. Belouettar, M. Potier-Ferry, A. Makradi and Y. Koutsawa. "Assessment of various kinematic models for instability analysis of sandwich beams." *Engineering Structures*, no. 33 (2011): 572–579.
- [28] H. Hu, S. Belouettar, M. Potier-Ferry and A. Makradi. "A novel finite element for global and local buckling analysis of sandwich beams." *Composite Structures*, no. 90 (2009): 270–278.
- [29] H. Bart-Smith, J.W. Hutchinson, and A.G. Evans. "Measurement and analysis of the structural performance of cellular metal sandwich construction." *International Journal of Mechanical Sciences*, no. 43 (2001): 1945–1963.
- [30] P.D. Soden. "Indentation of composite sandwich beams." *Journal of Strain Analysis for Engineering Design*, no. 31 (1996): 353–360.
- [31] P.O. Bostrom. "Collapse modes of a rigid-plastic beam on a rigid-plastic foundation." *International Journal of Mechanical Sciences*, no. 17 (1975): 73–84.
- [32] R.E. Miller. "A continuum plasticity model for the constitutive and indentation behavior of foamed metals." *International Journal of Mechanical Sciences*, no. 42 (2000): 729–754.
- [33] N. Jones. "Structural impact." 2nd ed. Cambridge: Cambridge University, (2011).
- [34] T. Wierzbicki and M.S. Hoo Fatt. "Impact response of a string-on-plastic foundation." *International Journal of Impact Engineering*, no. 12 (1992): 21–36.
- [35] V. Rubino, V.S. Deshpande and N.A. Fleck. "The three-point bending of Y-frame and corrugated core sandwich beams." *International Journal of Mechanical Sciences*, no. 52 (2010): 485–494.
- [36] H. Hu, S. Belouettar, M. Potier-Ferry and E.M. Daya. "Review and assessment of various theories for modeling sandwich composites." *Composites Structures*, no. 84 (2008): 282–292.
- [37] W.Q. Hao, J.M. Xie, F.H. Wang, Z.F. Liu and Z.H. Wang. "Analytical model of thin walled corrugated tubes with sinusoidal patterns under axial impacting." *International Journal of Mechanical Sciences*, no. 128 (2017): 1–16.
- [38] W.Q. Hao, J.M. Xie and F.H. Wang. "Theoretical prediction of the progressive buckling and energy absorption of the sinusoidal corrugated tube subjected to axial crushing." *Computer Structures*, no. 191 (2017): 12–21.
- [39] X. Qiu, V.S. Deshpande and N.A. Fleck. "Dynamic response of a clamped circular sandwich plate subject to shock loading." *Journal of Applied Mechanics*, no. 71 (2004): 637–645.
- [40] Z.W. Zhou, Z.H. Wang, L.M. Zhao and X.F. Shu. "Loading rate effect on yield surface of aluminum alloy foams." *Material Science Engineering A*, no. 543 (2012): 193–199.
- [41] Z.W. Zhou, Z.H. Wang, L.M. Zhao and X.F. Shu. "Uniaxial and biaxial failure behaviors of aluminum alloy foams." *Composite Part B*, no. 61 (2014): 340–349.
- [42] K. Yu, H. Hu, H. Tang, G. Giunta, M. Potier-Ferry and S. Belouettar. "A novel two dimensional finite elements to study the instability phenomena of sandwich plates." *Computer Methods in Applied Mechanics and Engineering*, no. 283 (2015): 1117–1137.
- [43] Q. Huang, Y. Liu, H. Hu, Q. Shao, K. Yu and G. Giunta. "A Fourier-related double scale analysis on the instability phenomena of sandwich plates." *Computer Methods in Applied Mechanics and Engineering*, no. 318 (2017): 270–295.
- [44] Y. Liu, K. Yu, H. Hu, S. Belouettar, M. Potier-Ferry and N. Damil. "A new Fourier related double scale analysis for instability phenomena in sandwich structures." *International Journal of Solids Structures*, no. 49 (2012): 3077–3088.
- [45] V.S. Deshpande and N.A. Fleck. "Isotropic constitutive models for metallic foams." *Journal of the Mechanics and Physics of Solids*, no. 48 (2000): 1253–1283.
- [46] J.X. Zhang, Q.H. Qin, X.H. Han and W.L. Ai. "The initial plastic failure of fully clamped geometrical asymmetric metal foam core sandwich beams." *Composite Part B*, no. 87 (2016): 233–244.